



中华人民共和国国家标准

GB/T 14839—93

地球化学勘查技术符号

Technical symbols for geochemical exploration

1993-12-30 发布

1994-10-01 实施



国家技术监督局 发布

地球化学勘查技术符号

Technical symbols for geochemical exploration

1 主题内容与适用范围

- 1.1 本标准规定了地球化学勘查公式、表格、图件中常用和专用参数的技术符号。
- 1.2 本标准适用于地质矿产勘查中金属、贵金属、油气、地热、放射性矿产资源的地球化学勘查。
- 1.3 本标准也可供环境地球化学等有关专业参考使用。

2 引用标准

GB 3101 有关量、单位和符号的一般原则

GB 9649 地质矿产术语分类代码

3 地球化学勘查参数技术符号

| 编号 | 符号 | 名 称 | 说 明 |
|------|-------------|---|--------------|
| 3.1 | C_0 | 背景值 Background value | |
| 3.2 | CV | 变化系数 Variation coefficient | |
| 3.3 | S_0 | 标准离差 Standard deviation | |
| 3.4 | δ | 对数标准离差 Log standard deviation | |
| 3.5 | K_e | 放射性平衡系数 Radioactive equilibrium coefficient | |
| 3.6 | I_z | 分带指数 Zonality index | |
| 3.7 | AB | 丰度 Abundance | |
| 3.8 | r_z | 峰度 Kurtosis | |
| 3.9 | q | 富集系数 Enrichment coefficient | |
| 3.10 | NAP | 规格化面金属量 Normalized areal productivity | |
| 3.11 | A | 活度 Activity | GB 4960 0260 |
| 3.12 | \bar{X}_g | 几何平均值 Geometric mean | |
| 3.13 | M_p | 金属偏提取量 Partial metal content | |
| 3.14 | ΣM | 金属总量 Total metal content | |
| 3.15 | LC_0 | 局部背景 Local background | |

| 编号 | 符号 | 名 称 | 说 明 |
|------|----------------|--------------------------------------|-----|
| 3.16 | T_l | 局部异常下限 Local threshold | |
| 3.17 | K | 克拉克值 Clarke value | |
| 3.18 | V_{mu} | 累乘值 Multiplicative value | |
| 3.19 | V_{ad} | 累加值 Additive value | |
| 3.20 | I_{mu} | 累乘指数 Multiplicative index | |
| 3.21 | I_{ad} | 累加指数 Additive index | |
| 3.22 | f_1 | 累积频率 Cumulative frequency | |
| 3.23 | P_s | 面金属量 Areal productivity | |
| 3.24 | K_K | 浓度克拉克值 Concentration clarke | |
| 3.25 | C_g | 浓度梯度 Concentration gradient | |
| 3.26 | r_1 | 偏度 Skewness | |
| 3.27 | f | 频率 Frequency | |
| 3.28 | $C_x M$ | 冷提取金属 Cold-extraction metal | |
| 3.29 | $C_x \Sigma M$ | 冷提取重金属总量 Cold-extraction heavy metal | |
| 3.30 | RC_0 | 区域背景 Regional background | |
| 3.31 | T_r | 区域异常下限 Regional threshold | |
| 3.32 | η | 射气系数 Emanation coefficient | |
| 3.33 | pH | 酸碱值 pH value | |
| 3.34 | \bar{X} | 算术平均值 Arithmetic mean | |
| 3.35 | S_1 | 位移系数 Coefficient of offsetting | |
| 3.36 | P_l | 线金属量 Linear productivity | |
| 3.37 | Eh | 氧化电位 Eh value | |
| 3.38 | A_c | 异常衬度 Anomaly contrast | |
| 3.39 | A_d | 异常规模 Anomaly dimension | |
| 3.40 | C_{max} | 异常极大值 Maximum anomaly | |
| 3.41 | A_a | 异常面积 Anomaly area | |
| 3.42 | A_i | 异常强度 Anomaly intensity | |
| 3.43 | T | 异常下限 Threshold | |
| 3.44 | C_a | 异常值 Anomaly value | |
| 3.45 | P_c | 原始衬度 Primary contrast | |

| 编号 | 符号 | 名 称 | 说 明 |
|------|-----------------|--|-----|
| 3.46 | ER | 元素比值 Element ratio | |
| 3.47 | M_e | 中位数 Median | |
| 3.48 | M_o | 众数值 Modal value | |
| 3.49 | R_nI | 包体氡 Inclusion Radon | |
| 3.50 | ZS_v | 垂直分带序列 Vertical zoning sequence | |
| 3.51 | RA _t | 反冲原子 Recoil atom | |
| 3.52 | ZS | 分带序列 Zoning sequence | |
| 3.53 | ZSt | 横向分带序列 Transversal zoning sequence | |
| 3.54 | UM | 活动铀 Mobile Uranium | |
| 3.55 | IE _s | 近程指示元素 Short distance indicator element | |
| 3.56 | K-V | K-V 指纹 K-V fingerprint | |
| 3.57 | Z_c | 浓度分带 Concentration zoning | |
| 3.58 | SCE | 齐拉-却满斯效应 Szilard-Chamers effect | |
| 3.59 | R_nS | 壤中氡 Soil Radon | |
| 3.60 | TLP | 热释光现象 Thermoluminescence phenomenon | |
| 3.61 | HCD | 溶解烃 Dissolved hydrocarbon | |
| 3.62 | ZS_h | 水平分带序列 Horizontal zoning sequence | |
| 3.63 | R_nW | 水中氡 Radon in water | |
| 3.64 | ΔC | 土壤蚀变 Soil alteration | |
| 3.65 | HCA | 吸附烃 Absorbed hydrocarbon | |
| 3.66 | UA | 吸附铀 Absorbed Uranium | |
| 3.67 | HCF | 游离烃 Free hydrocarbon | |
| 3.68 | Z_l | 元素分带 Element zoning | |
| 3.69 | IE _l | 远程指示元素 Long distance indicator element | |
| 3.70 | IE _m | 中程指示元素 Middle distance indicator element | |
| 3.71 | ZS_a | 轴向分带序列 Axial zoning sequence | |
| 3.72 | UVA | 紫外吸收 Ultraviolet absorption | |
| 3.73 | UVF | 紫外荧光 Ultraviolet fluorescence | |
| 3.74 | ZS_l | 纵向分带序列 Longitudinal zoning sequence | |

4 地球化学勘查测试技术符号

| 编号 | 符号 | 名 称 | 说 明 |
|------|----------------------------|--|-----|
| 4.1 | P | 报出率 Percentage of data with detectable value limit | |
| 4.2 | V_g | 保证值 Guarantee value | |
| 4.3 | B_s | 采样偏倚 Sampling bias | |
| 4.4 | $\Delta \log c$ | 对数偏差 Log deviation | |
| 4.5 | B_{mb} | 方法间偏倚 Between-method bias | |
| 4.6 | QRA | 分析合格率 Qualified ratio of analysis | |
| 4.7 | B_a | 分析偏倚 Analytical bias | |
| 4.8 | D_L | 检出限 Detection limit | |
| 4.9 | V_{us} | 可用值 Usable value | |
| 4.10 | S_s | 灵敏度 Sensitivity | |
| 4.11 | B_{bb} | 批次间偏倚 Between-batch bias | |
| 4.12 | $\overline{\Delta \log c}$ | 平均对数偏差 Average log deviation | |
| 4.13 | B_{ab} | 人员间偏倚 Between-analyst bias | |
| 4.14 | V_c | 认可值 Certificate value | |
| 4.15 | V_r | 推荐值 Recommended value | |
| 4.16 | RSD | 相对标准离差 Relative standard deviation | |
| 4.17 | RE | 相对误差 Relative error | |
| 4.18 | V_p | 选用值 Preferred value | |
| 4.19 | V_{be} | 最佳估计值 Best estimate value | |
| 4.20 | A/kg | 安(培)/千克 Ampere/kilogram | |
| 4.21 | Bq | 贝可(勒尔) Becquerel | |
| 4.22 | Bq/L | 贝可/升 Becquerel/liter | |
| 4.23 | eTh | 当量钍含量 Equivalent Thorium concentration | |
| 4.24 | eU | 当量铀含量 Equivalent Uranium concentration | |
| 4.25 | FAR | 基本分析结果 Fundamental analytic result | |
| 4.26 | CAR | 检查分析结果 Check analytic result | |
| 4.27 | C/kg | 库(伦)/千克 Coulomb/kilogram | |

附加说明：

本标准由中华人民共和国地质矿产部提出。

本标准由全国地质矿产标准化技术委员会物化探分技术委员会归口。

本标准由中国有色金属工业总公司桂林冶金地质学院负责起草。

本标准参加编写单位为地质矿产部物化探研究所、核工业总公司北京地质研究院、冶金工业部地球物理勘查院。

本标准起草人罗年华、吴慧山、伍宗华、刘汉忠、唐甲光、解庆林、刘成湛。

中 华 人 民 共 和 国
国 家 标 准
地 球 化 学 勘 查 技 术 符 号

GB/T 14839—93

*

中 国 标 准 出 版 社 出 版
(北京复外三里河)

中国标准出版社北京印刷厂印刷

新华书店北京发行所发行 各地新华书店经售

版权专有 不得翻印

*

开本 880×1230 1/16 印张 1/2 字数 9 千字

1994 年 7 月第一版 2002 年 7 月第二次印刷

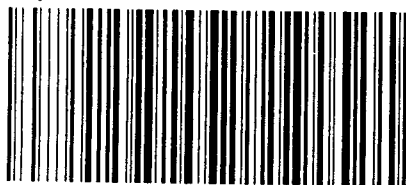
印数 1 501—1 700

*

书号: 155066 · 1-10804 定价 8.00 元

*

标 目 244—23



GB/T 14839-1993